

# Дослідження $\beta$ -циклодекстринвмісного псевдоротаксану методом піролітичної мас-спектрометрії

Л.А. Орел, В.В. Бойко, В.І. Бортницький, Л.В. Кобріна, С.І. Сінельніков, С.В. Рябов

Інститут хімії високомолекулярних сполук НАН України  
48, Харківське шосе, Київ, 02160, Україна

*Методом піролітичної мас-спектрометрії досліджено структуру псевдоротаксану, отриманого на основі  $\beta$ -циклодекстрину та поліоксипропілендиметакрилату. Встановлено вірогідний склад іонних фрагментів та інтенсивність їх виділення в мас-спектрах при піролізі вихідних компонентів –  $\beta$ -циклодекстрину і поліоксипропілендиметакрилату, їх фізичної суміші та псевдоротаксану.*

**Ключові слова:**  $\beta$ -циклодекстрин, псевдоротаксан, піролітична мас-спектрометрія, піроліз, структура.

## Вступ.

Останнім часом в області супрамолекулярної хімії багато уваги приділяється отриманню ротаксанів, які являють собою комплекси включення, що складаються з циклічних молекул (Ц), нанизаних на лінійні молекули (Л) [1]. Їхньою характерною рисою є відсутність ковалентного зв'язування між компонентами Ц і Л. Для запобігання дисоціації комплексу на складові частини використовують блокатори (Б) – об'ємні молекули, ковалентно приєднані до кінців лінійних молекул. Аналогічні структури, в яких молекули Б відсутні, називаються псевдоротаксанами [2]. Схематично утворення ротаксану та псевдоротаксану на основі  $\beta$ -циклодекстрину ( $\beta$ -ЦД) подано на рис. 1.

$\beta$ -ЦД-псевдоротаксані – це перспективні системи, що можуть бути використані як «смарт» матеріали для виробництва пристрійв накопичення і зберігання інформації, для регульованих молекулярних перемикачів, іон-селективних сенсорів і мембрани [3, 4], а також як носіїв лікарських препаратів [5].

На думку фахівців, що працюють в області супрамолекулярної хімії, визначення складу комплексу включення є одним з найбільш складних завдань. У літературі описано декілька прямих і непрямих методів визначення складу комплексів включення [6]. Одним з непрямих методів, що дає змогу досліджувати структуру комплексів типу «гість–хазяїн», є метод піролітичної мас-спектрометрії (ПМС) [7–9].

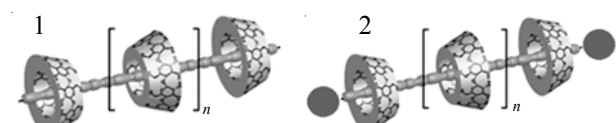


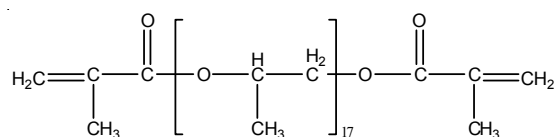
Рис. 1. Схематичне зображення  $\beta$ -ЦД-псевдоротаксану (1) і  $\beta$ -ЦД-ротаксану (2)

Метою цієї роботи є дослідження методом ПМС структури псевдоротаксану, отриманого на основі  $\beta$ -ЦД (Ц) та поліоксипропілендиметакрилату (ПОПДМ) (Л).

## Експериментальна частина.

Об'єкти дослідження:  $\beta$ -циклодекстрин (фірми Cyclolab Ltd.) – циклічний олігосахарид, який складається з 7-ми D-глюкопіранозних ланок ( $C_6H_{10}O_5$  – мономерних фрагментів), з'єднаних 1,4-глюкозидними зв'язками (рис. 2). Молекулярна маса (ММ) мономерного фрагмента дорівнює 162.

ПОПДМ був синтезований за реакцією метакрилового ангідриду (ММ 154) з поліоксипропіленгліколем (ММ 1000) за наявності триетиламіну (ММ 101) (всі використані реагенти фірми Aldrich):



## Синтез псевдоротаксану на основі $\beta$ -ЦД з ПОПДМ (за мольного співвідношення, рівного 3:1).

Псевдоротаксан отримували у водному розчині шляхом додавання ПОПДМ (1,39 г) до  $\beta$ -ЦД (4,1 г у 230 мл дистильованої води). Суміш перемішували про-

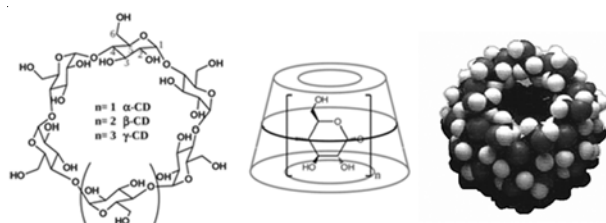


Рис. 2. Хімічна структура циклодекстринів

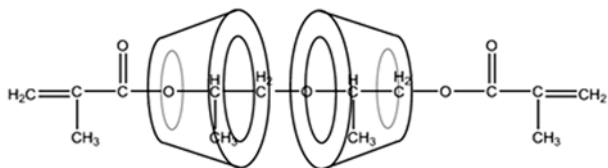


Рис. 3. Структура отриманого  $\beta$ -ЦД псевдоротаксану

Таблиця 1. Температура розкладання, загальний іонний струм і кількість іонних фрагментів при піролізі  $\beta$ -ЦД, ПОПДМ, суміші  $\beta$ -ЦД з ПОПДМ (3:1, моль) та псевдоротаксану  $\beta$ -ЦД з ПОПДМ (3:1, моль)

Об'єкт дослідження	$T, ^\circ\text{C}$	$J, \text{ум. од.}$	$n, \text{од.}$
$\beta$ -ЦД	280	167	64
ПОПДМ	280	112	23
	320	134	30
Суміш $\beta$ -ЦД з ПОПДМ (3:1)	280	167	56
Псевдоротаксан $\beta$ -ЦД з ПОПДМ (3:1)	280	163	68

тягом 2 год. за кімнатної температури і залишали на 12 год. за температури 5 °C. Отриманий осад у вигляді порошку відфільтровували та висушували до сталої ваги за температури 50 °C.

Склад синтезованих продуктів підтверджений методами ІЧ-, ЯМР-спектроскопії та елементного аналізу.

Як зразок порівняння було приготовлено механічну суміш  $\beta$ -ЦД з ПОПДМ (3:1, моль) шляхом розтирання у ступці ПОПДМ (0,058 г) з  $\beta$ -ЦД (0,17025 г) протягом 10 хв.

Дослідження проводили на мас-спектрометрі MX-1321, який забезпечує визначення компонентів газових сумішей в діапазоні масових чисел 1–4000 у відповідності з методикою, описаною в [7]. Обробку мас-спектрів летких продуктів термодеструкції об'єктів дослідження проводили за допомогою комп'ютерної програми, яка дала змогу реєструвати інтенсивність кожного газоподібного продукту за інтегральною площею під відповідним піком. Також вивчали температурну залежність зміни інтенсивності виділення летких продуктів термодеструкції досліджуваних об'єктів (загальний іонний струм (ЗІС)), склад іонних фрагментів, що утворюються при терморозкладанні зразків за різних температур. Інтенсивність ( $I$ ) виділення окремих летких продуктів (іонних фрагментів) відображали в умовних одиницях.

Отримані мас-спектри продуктів деструкції порівнювали з мас-спектрами каталогів [10, 11].

#### Результати дослідження та їх обговорення.

На рис. 4 наведені термограми питомої інтенсивності ЗІС виділення летких продуктів термодеструкції при піролізі ПОПДМ (крива 1);  $\beta$ -ЦД (крива 2); суміші

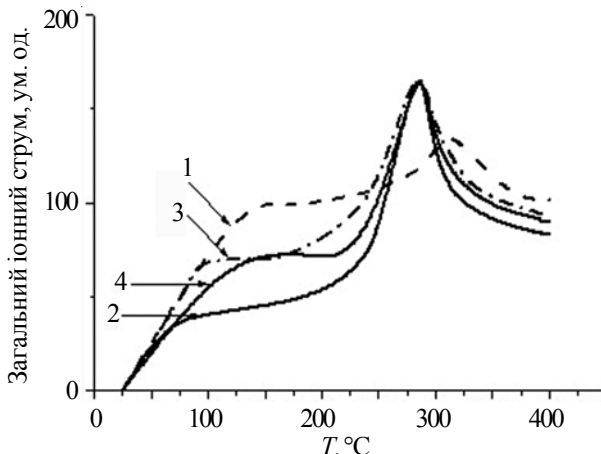


Рис. 4. Температурна залежність загального іонного струму виділення летких продуктів термодеструкції: ПОПДМ (1);  $\beta$ -ЦД (2); суміші  $\beta$ -ЦД з ПОПДМ (3:1) (3); псевдоротаксану  $\beta$ -ЦД з ПОПДМ (3:1) (4)

$\beta$ -ЦД з ПОПДМ (крива 3) та псевдоротаксану  $\beta$ -ЦД з ПОПДМ (крива 4). В інтервалі температур 25–125 °C показник ЗІС ПОПДМ зростає до значення 100 ум. од., залишаючись на цьому рівні до температури 225 °C. У подальшому спостерігають незначне (на 35 ум. од.) (табл. 1) збільшення цього показника з максимумом виділення летких продуктів за температури 320 °C.

Для мас-спектра ПОПДМ за температури 280 і 320 °C характерна наявність летких продуктів з масовим числом ( $m/z$ ) 57 ( $\text{OCH}(\text{CH}_3)\text{CH}$ ); 69 ( $\text{C}_3\text{HO}_2$ ) та 99 ( $\text{C}_5\text{H}_7\text{O}_2$ ), які можна віднести до метакрилатних кінцевих груп, а також летких компонентів з  $m/z$  59 ( $\text{C}_3\text{H}_7\text{O}$ ); 87 ( $\text{C}_5\text{H}_{11}\text{O}$ ); 101 ( $\text{C}_5\text{H}_9\text{O}_2$ ) та 116 ( $\text{C}_6\text{H}_{12}\text{O}_2$ ), що утворюються при деструкції оксипропіленового ланцюга (табл. 2). Піки іонних фрагментів (ІФ) з вищезазначенюю масою відсутні в мас-спектрі  $\beta$ -ЦД. Оскільки питома інтенсивність ІФ за температури 320 °C вища, ніж за 280 °C, можна припустити, що за цієї температури відбувається руйнування оксипропіленового ланцюга ПОПДМ.

На термограмі  $\beta$ -ЦД (рис. 4, крива 2) до температури 200 °C спостерігають виділення фонових летких продуктів ( $m/z=17; 18$  і 44). Безпосередньо терморозклад  $\beta$ -ЦД відбувається у вузькому температурному діапазоні (75 °C) у межах 250–325 °C з максимальним виділенням значної кількості летких компонентів за температури 280 °C ( $J=167$  ум. од.;  $n=64$  од. (табл. 1)). Найбільш інтенсивним ІФ у мас-спектрі  $\beta$ -ЦД, знятиому за температури 280 °C, як видно з табл. 2, є леткий компонент з  $m/z=60$  ( $\text{O}=\text{CH}-\text{CH}_2\text{OH}$ ), що утворюється при розриві мономерного – глюкопіранозного кільця (рис. 1) (5-тий та 6-тий атоми вуглецю), вода ( $m/z=18$ ), далі за інтенсивністю реєструються леткі продукти, які теж утворюються при розриві глюкопіранозного кільця, а саме леткі з  $m/z=57$  ( $\text{C}_3\text{H}_5\text{O}$ ); 29 ( $\text{O}=\text{CH}-$ ); 73 ( $\text{CH}_3\text{NOHCHNOH}$ ); 43 ( $\text{CH}_2\text{CHO}$ ); 44 ( $\text{CH}_3\text{CHO}, \text{CH}_2\text{CHOH}$ ); 31 ( $-\text{CH}_2\text{OH}$ ); 42 ( $\text{C}_2\text{H}_2\text{O}$ ); 28 ( $\text{CO}, \text{C}_2\text{H}_4$ ) (табл. 2). Фрагментами глюкопіранозного кільця за відніманням двох або однієї

Таблиця 2. Вірогідний склад іонних фрагментів та інтенсивність їх виділення в мас-спектрах при піролізі  $\beta$ -ЦД, ПОПДМ, механічної суміші  $\beta$ -ЦД з ПОПДМ (3:1) і псевдоротаксану  $\beta$ -ЦД з ПОПДМ (3:1)

$m/z$	Іонний фрагмент	$I \cdot 10^4$ , ум. од.							
		ПОПДМ		$\beta$ -ЦД	Суміш $\beta$ -ЦД з ПОПДМ (3:1)		Псевдоротаксан $\beta$ -ЦД з ПОПДМ (3:1)		
		280 °C	320 °C		280 °C	320 °C	280 °C	320 °C	
17	OH <sup>-</sup>	0,04	0,07	0,73	0,57	0,06	0,75	0,11	
18	H <sub>2</sub> O	0,50	0,47	4,40	2,84	0,51	4,36	0,62	
27	C <sub>2</sub> H <sub>3</sub>	0,02	0,09	0,35	0,48	0,04	0,67	0,10	
28	CO, C <sub>2</sub> H <sub>4</sub>	0,10	0,21	0,94	1,87	0,15	1,22	0,20	
29	C <sub>2</sub> H <sub>5</sub> ,CHO	0,07	0,20	1,32	1,90	0,06	2,11	0,22	
31	CH <sub>2</sub> OH	0,07	0,14	1,52	3,12	0,03	2,46	0,12	
32	CH <sub>3</sub> OH	-	-	0,49	1,06	-	0,65	-	
41	C <sub>3</sub> H <sub>5</sub>	0,23	0,13	0,61	0,59	0,21	0,84	0,19	
42	C <sub>3</sub> H <sub>6</sub>	0,05	0,56	0,61	0,71	0,05	0,79	0,06	
43	C <sub>3</sub> H <sub>7</sub> , CH <sub>2</sub> CHO	0,33	0,50	1,61	2,72	0,24	2,72	0,34	
44	CO <sub>2</sub> , CH <sub>3</sub> CHO, CH <sub>2</sub> CHOH	0,17	0,09	1,93	1,93	0,47	2,48	0,37	
55	C <sub>4</sub> H <sub>7</sub>	0,04	0,30	0,68	0,61	0,08	0,98	0,07	
57	C <sub>4</sub> H <sub>9</sub> , CO-C(CH <sub>3</sub> )=CH <sub>2</sub> C <sub>3</sub> H <sub>5</sub> O	0,14	0,95	1,33	0,66	0,09	1,58	0,16	
59	C <sub>3</sub> H <sub>7</sub> O	0,72	-	0,10	0,28	0,28	0,42	0,29	
60	OCHCH <sub>2</sub> OH	-	-	2,25	0,39	-	2,38	0,10	
61	C <sub>2</sub> H <sub>5</sub> O <sub>2</sub>	-	0,19	0,30	0,08	-	0,42	-	
69	C <sub>4</sub> H <sub>5</sub> O	-	0,19	-	0,44	0,07	0,64	0,10	
73	HOCH <sub>2</sub> CH <sub>2</sub> OH	-	-	1,16	0,13	-	1,43	0,08	
85	C <sub>5</sub> H <sub>9</sub> O	-	0,12	0,35	0,45	-	0,69	-	
87	C <sub>5</sub> H <sub>11</sub> O	0,07	0,15	-	0,13	-	0,29	0,02	
99	C <sub>5</sub> H <sub>7</sub> O <sub>2</sub>	0,04	0,20	-	0,04	-	0,09	-	
101	C <sub>5</sub> H <sub>9</sub> O <sub>2</sub>	0,11	0,13	-	-	0,02	0,09	-	
113	C <sub>6</sub> H <sub>9</sub> O <sub>2</sub>	-	-	0,17	-	-	0,38	-	
116	C <sub>6</sub> H <sub>12</sub> O <sub>2</sub>	0,17	0,19	-	-	0,03	0,05	-	
126	C <sub>6</sub> H <sub>10</sub> O <sub>5</sub> -2 H <sub>2</sub> O	-	-	0,43	0,19	-	0,27	-	
144	C <sub>6</sub> H <sub>10</sub> O <sub>5</sub> -H <sub>2</sub> O	-	-	0,30	-	-	0,24	-	

молекули води, відповідно, є леткі з  $m/z=126$  і  $m/z=144$ . Останній – найбільший за молекулярною масою ІФ, що реєструється в мас-спектрі  $\beta$ -ЦД. Тобто можна пропустити, що за цієї температури відбувається руйнування всієї молекули  $\beta$ -ЦД по 1,4-глюкозидних зв'язках.

Характер термограми механічної суміші (рис.4, крива 3) в діапазоні температур 25–160 °C подібний до термограми ПОПДМ. До температури 100 °C спостерігали таку ж швидкість термодеструкції як і для ПОПДМ (ділянки кривих 1 і 3 співпадають). В інтервалі температур від 100 до 160 °C термограма механічної суміші має плато (як і при термодеструкції ПОПДМ) з показником ЗІС=70 ум. од. У подальшому крива ЗІС механічної суміші аналогічна термограмі  $\beta$ -ЦД, але з ширшим контуром екстремального піка виділення летких продуктів. Як і для  $\beta$ -ЦД, максимум утворення ІФ (56 од.) (табл. 1) спостерігали за  $T=280$  °C з однаковим показником ЗІС (167 ум. од. для  $\beta$ -ЦД і механічної суміші). Пік ЗІС за  $T=320$  °C, наявність якого характерна для

вихідного ПОПДМ, на термограмі суміші відсутній. Цей факт може свідчити про наявність взаємодії між молекулами  $\beta$ -ЦД і ПОПДМ у процесі отримання суміші цих речовин, оскільки раніше при дослідженні комплексів включення  $\beta$ -ЦД з різними органічними молекулами [7–9] було показано наявність на термограмах суміші компонентів комплексів окремих піків терморозкладання як для  $\beta$ -ЦД, так і молекул–гостя.

Слід зазначити, що до ряду 10-ти найбільш інтенсивних ІФ суміші  $\beta$ -ЦД з ПОПДМ належать леткі продукти, які реєструються в мас-спектрах обох речовин (табл. 2). Їхня питома інтенсивність вища, ніж у спектрах окремо взятих  $\beta$ -ЦД і ПОПДМ. Водночас у мас-спектрі суміші за  $T=280$  °C відсутні піки з високою молекулярною масою ( $m/z=101$ ; 113; 116 і 144), в 6 разів менша інтенсивність леткого з  $m/z=73$ , що утворюється при деструкції глюкопіранозного кільця молекули  $\beta$ -ЦД у положенні 5,6. Враховуючи вищезазначене,

можна припустити, що в результаті отримання механічної суміші (методом «сухого» розтирання) ПОПДМ з  $\beta$ -ЦД між гідроксильними групами  $\beta$ -ЦД у положенні 6 глюкопіранозного кільця та оксипропіленовим ланцюгом ПОПДМ утворюються міжмолекулярні водневі зв'язки без входження ланцюга ПОПДМ у гідрофобну порожнину  $\beta$ -ЦД.

Термограма псевдоротаксану (рис. 4, крива 4) за характером подібна до термограм  $\beta$ -ЦД і суміші. В інтервалі температур 260–300 °C криві псевдоротаксану і  $\beta$ -ЦД співпадають, за інших температур показники ЗІС для псевдоротаксану вищі, ніж для  $\beta$ -ЦД, але нижчі, ніж для суміші. Як видно з рис. 4, початкова швидкість термодеструкції псевдоротаксану менша, ніж у суміші: тангенс кута нахилу прямої ділянки термограми псевдоротаксану становить 1,25 проти 1,7 для термограми суміші. Це може свідчити про більшу стійкість псевдоротаксану до впливу температур, ніж механічної суміші, що в свою чергу говорить про відмінність структурної організації псевдоротаксану від зразка суміші. Слід також відзначити відсутність на термограмі псевдоротаксану піка за  $T=320$  °C, який спостерігали на термограмі ПОПДМ. У мас-спектрі псевдоротакса-

ну за температури 280 °C реєструються всі ІФ, що входять до складу як  $\beta$ -ЦД, так і ПОПДМ, але питома інтенсивність ІФ, характерних для глюкопіранозного кільця  $\beta$ -ЦД у положеннях 4, 5 і 6 (ІФ з  $m/z = 60; 73; 44; 57; 31$  та ін.) вища у псевдоротаксану, ніж у вихідного  $\beta$ -ЦД (табл. 2), а питома інтенсивність ІФ, які можуть бути віднесені до оксипропіленового ланцюга ПОПДМ, навпаки нижча у псевдоротаксану, ніж у ПОПДМ. Тобто у водному розчині спостерігали зовсім інший механізм взаємодії  $\beta$ -ЦД з ПОПДМ, ніж у випадку формування механічної суміші цих компонентів, а саме утворення псевдоротаксану за схемою, наведеною на рис. 3. Такі результати мас-спектрометричних досліджень добре кореляють з даними досліджень механізму формування комплексів включення лінійних молекул з циклодекстринами, наведеними в статті [12].

### Висновки.

Отже, результати досліджень систем на основі цикліческих молекул  $\beta$ -циклодекстрину та лінійних молекул поліоксипропілендиметакрилату методом мас-спектрометрії можуть слугувати підтвердженням утворення псевдоротаксанової структури.

## Література

1. Harada A., Takashima Y., Yamaguchi H. Cyclodextrin-based supramolecular polymers. Chem. Society Reviews, 2009, **38**: 875–882.
2. Panova I.G., Topchieva I.N. Rotaxanes and polyrotaxanes. Synthesis and supramolecular devices on their basis. Russian Chem. Reviews, 2001, **70**, № 1: 28–51.
3. Wenz G., Han B-H., Muller A. Cyclodextrin Rotaxanes and Polyrotaxanes. Chem. Reviews, 2006, **106**: 782–817.
4. Masanov A.Y. Chemistry outside polymers. Chemistry and life, 2006, № 9: 24–27.
5. Xing M., Yanli Z. Biomedical Applications of Supramolecular Systems Based on Host”Guest Interaction. Chem. Reviews, 2015, **115**: 7794–7839.
6. Popova I.E., Kazarin L.A., Topcheva I.N. Direct method by defining the composition of inclusion complexes based on poly(propylene oxide) and  $\beta$ -cyclodextrin. Chemistry, 2001, **42**, № 2: 125–127.
7. Riabov S.V., Boyko V.V., Bortnytskyy V.I., Dmytryieva T.V., Babich I.V., Kercha Y.Y. Mass-spectrometric studies of inclusion complex of  $\beta$ -cyclodextrin with albumin. Polymer J., 2012, **34**, № 3: 283–286.
8. Babich I.V., Riabov S.V., Boyko V.V., Dmytryieva T.V., Bortnytskyy V.I., Kozlov A.V., Kercha Y.Y. Inclusion complexes of cyclodextrins with albumin. Reports NANU, 2013, № 1: 118–122.
9. Gordon A.J., Ford R.A. The chemist’s companion: a handbook of practical data, techniques and references. Wiley, New York, 1972: 541.
10. Sidel’nikov V.A., Gur’yanova L.V., Utkin V.A., Malakhov V.V., Kolchin A.M. Katalog sokrashchennyyh mass-spektrov [Short catalogue of mass spectra]. Nauka, Novosibirsk, 1981: 187 (in Russian).
11. Pozuelo J., Mendicuti F., Mattice W. Inclusion complexes of chain molecules with cycloamyloses III. Molecular dynamics of simulations of polyrotaxanes formed by poly(propylene glycol) and  $\beta$ -cyclodextrins. Polymer J., 1998, **30**, № 6: 479–484.
12. Riabov S.V., Boyko V.V., Bortnytskyy V.I., Dmytryieva T.V., Kobrina L.V., Kercha Y.Y. Mass-spectrometric studies of inclusion complexes of silylation derivative of  $\beta$ -cyclodextrin with organic compounds obtained in the aqueous environment. Ukrainian Chem. J., 2009, **75**, № 11: 58–63.

Надійшла до редакції 7 лютого 2017р.

## Исследование $\beta$ -циклоцелектринсодержащего псевдоротаксана методом пиролитической масс-спектрометрии

Л.А. Орел, В.В. Бойко, В.И. Бортницкий, Л.В. Кобрина, С.И. Синельников, С.В. Рябов

Институт химии высокомолекулярных соединений НАН Украины  
48, Харьковское шоссе, Киев, 02160, Украина

*Методом пиролитической масс-спектрометрии исследована структура псевдоротаксана, полученного на основе  $\beta$ -циклоцелектрина и полиоксипропилен-диметакрилата. Установлен вероятный состав ионных фрагментов и интенсивность их выделения в масс-спектрах при пиролизе исходных компонентов –  $\beta$ -циклоцелектрина и полиоксипропилендиметакрилата, их физической смеси и псевдоротаксана.*

**Ключевые слова:**  $\beta$ -циклоцелектрин, псевдоротаксан, пиролитическая масс-спектрометрия, пиролиз, структура.

## Investigation of $\beta$ -cyclodextrin-containing pseudorotaxane by pyrolysis mass spectrometry method

Л.А. Орел, В.В. Бойко, В.И. Бортницкий, Л.В. Кобрина, С.И. Синельников, С.В. Рябов

Institute of Macromolecular Chemistry NAS of Ukraine  
48, Kharkivske shose, Kyiv, 02160, Ukraine

*Recently, in the field of supramolecular chemistry much attention is paid to obtain a rotaxanes, which are inclusion complexes consisting of cyclic molecules being strung on a linear molecule. According to a specialists opinion involved in the supramolecular area, one of the most difficult task is to define a composition of rotaxane's inclusion complex. The method of pyrolysis mass spectrometry allows the structure of "host-guest" complex to be investigated.*

*In this work the structure of pseudorotaxane based on  $\beta$ -cyclodextrin and polyoxypropylenedimethacrylate was studied by the pyrolysis mass spectrometry method. A probable composition of ion fragments and intensity of their emissions in the mass spectra was established during pyrolysis of pure both  $\beta$ -cyclodextrin and polyoxypropylenedimethacrylate, their physical mixture and pseudorotaxane. Thus, the results obtained confirm the formation of pseudorotaxane's structure.*

**Key words:**  $\beta$ -циклоцелектрин, псевдоротаксан, пиролиз масс спектрометрия, пиролиз, структура.